



RED DE CONTROL SÍSMICO DE LA CUENCA DEL RÍO ARAGÓN

Parte de actividad quincenal: 16 al 31 de Marzo de 2010

1- RED SÍSMICA

La Red de Control Sísmico de la Cuenca del Río Aragón está compuesta por 16 estaciones de registro de velocidad (corto periodo y banda ancha) y 11 estaciones de registro de aceleración, según se muestra en la Figura 1, divididas en dos zonas. En la actualidad, la situación en la que se encuentra la red es la que se plasma en la Figura 1. Cuando el código de la estación se encuentra sobre fondo negro, la estación está instalada; cuando el fondo es blanco, la estación se encuentra en proceso de instalación.

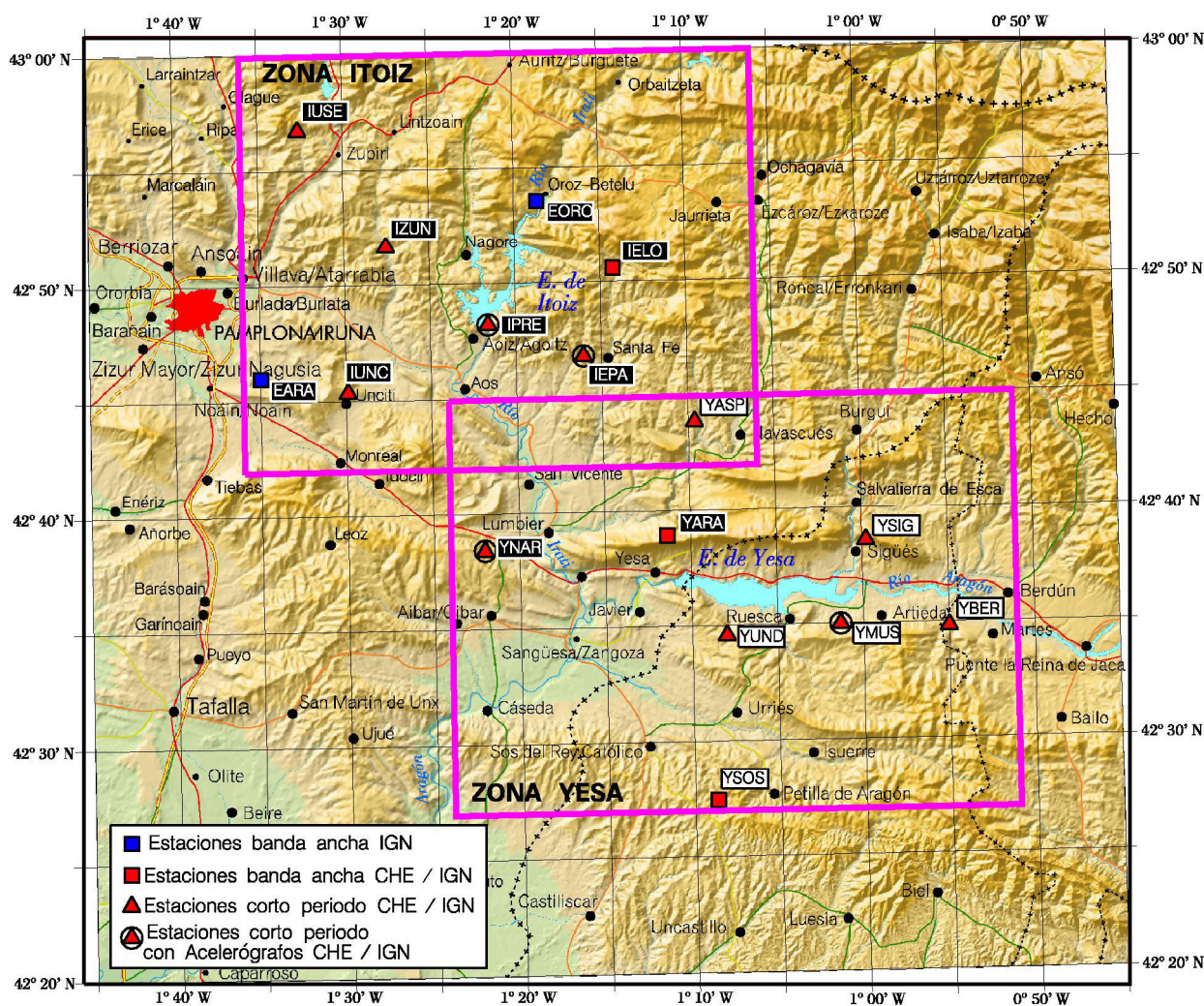


Figura 1.- Configuración y estado de la instalación de la red Sísmica del Río Aragón.

El nivel de operatividad del conjunto de la red ha sido del 65% según se muestra en la Figura 2.

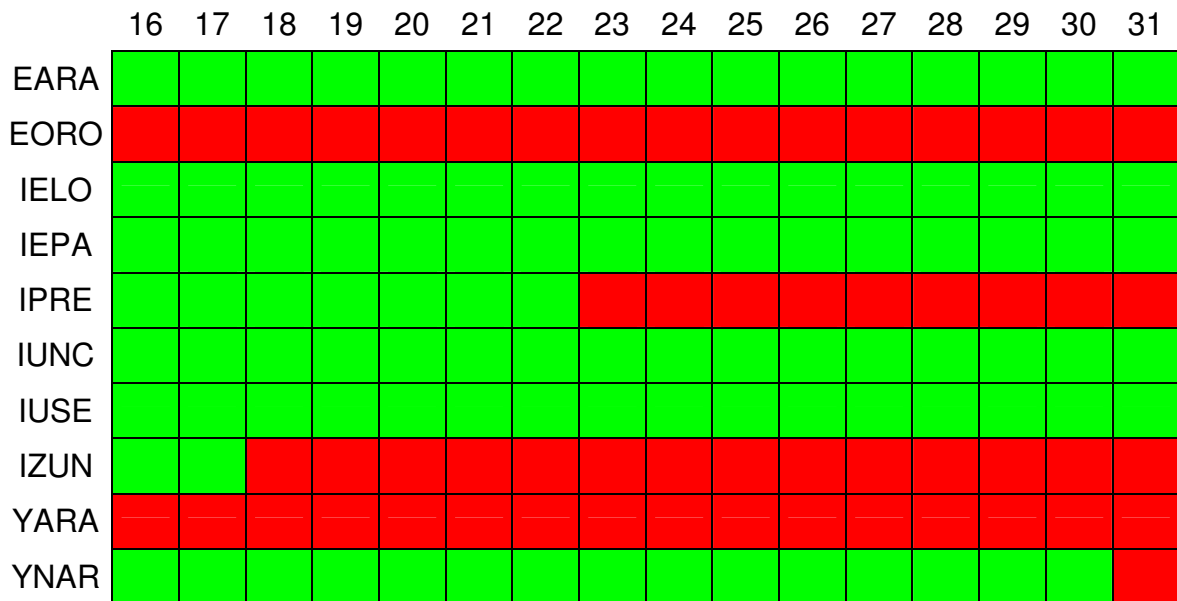


Figura 2.- Operatividad de las estaciones. Se señala en color rojo el periodo de tiempo en el que se interrumpe la secuencia de datos, por problemas en la instrumentación o en la transmisión.

2- ZONA DEL EMBALSE DE ITOIZ (PARALELOS 42.7N-43.0N, MERIDIANOS 1.6W-1.1W)

ACTIVIDAD SÍSMICA DEL PERIODO QUINCENAL 16 AL 31 DE MARZO DE 2010

En este periodo se han localizado en la zona próxima al embalse de Itoiz 12 terremotos entre las magnitudes de 0,5 y 2,1:

<u>Fecha</u>	<u>Hora (TU)</u>	<u>Lat.</u>	<u>Lon.</u>	<u>Mag</u>	<u>Localización</u>
17-mar	05:48:25	42,83	-1,43	0,5	W NAGORE.NA
17-mar	07:18:47	42,86	-1,44	0,6	W NAGORE.NA
18-mar	04:59:11	42,83	-1,36	0,8	S NAGORE.NA
23-mar	00:21:48	42,78	-1,36	0,9	NE AOIZ/AGOITZ.NA
24-mar	19:55:39	42,78	-1,24	1,8	N SANTA FE.NA
25-mar	02:59:10	42,82	-1,31	0,9	SE NAGORE.NA
26-mar	12:15:11	42,88	-1,17	1,4	W JAURRIETA.NA
27-mar	07:33:03	42,83	-1,50	0,9	NE EGÜÉS.NA
28-mar	00:47:21	42,70	-1,22	2,1	NE DOMEÑO.NA
30-mar	17:20:24	42,81	-1,18	1,7	NE SANTA FE.NA
31-mar	06:26:18	42,83	-1,16	1,5	W SARRIÉS/SARTZE.NA
31-mar	22:39:58	42,78	-1,21	1,5	E SANTA FE.NA

En la Figura 3 se muestra su distribución epicentral.

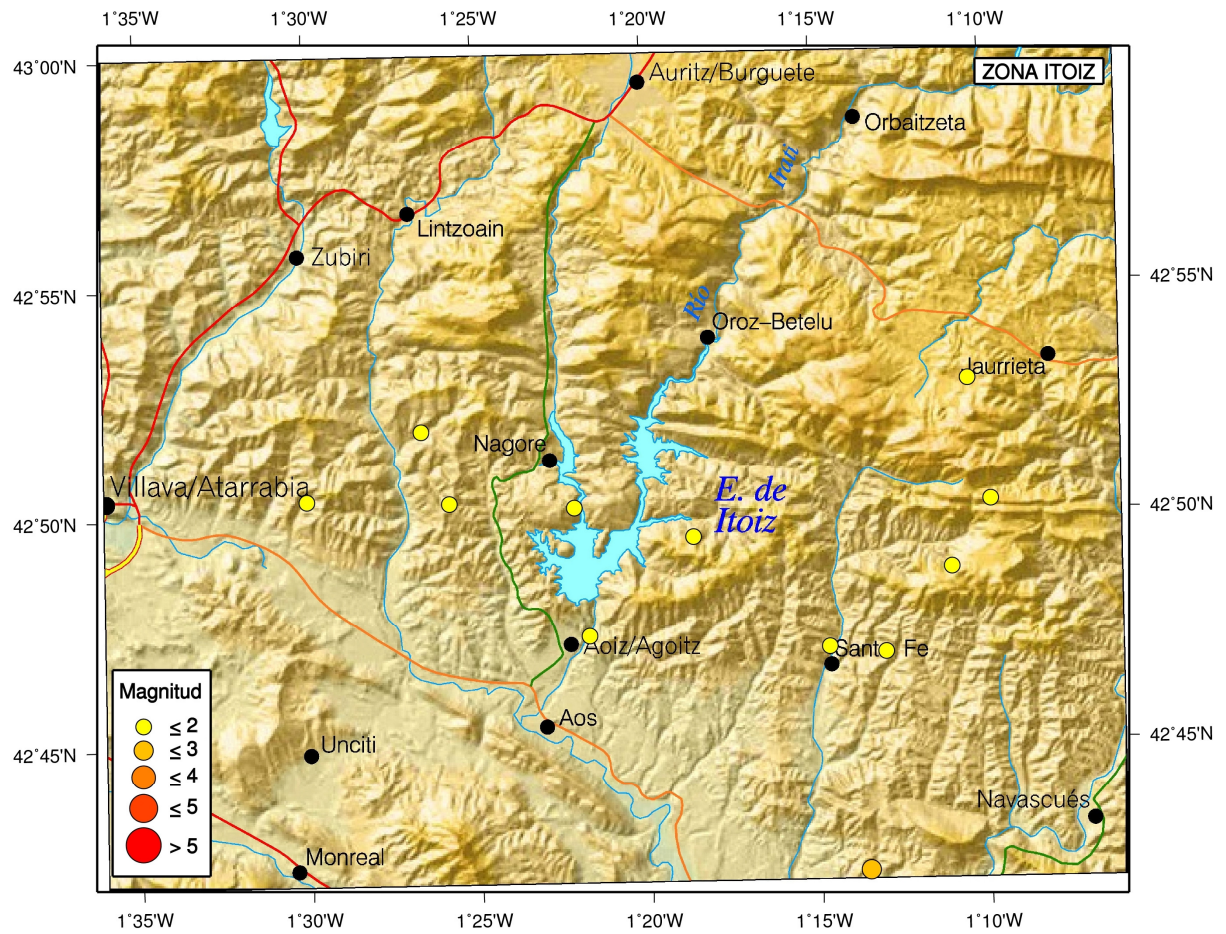


Figura 3.- Terremotos localizados en el periodo del 16 al 31 de marzo de 2010 en la zona de Itoiz, limitada por los paralelos 42,7N-43,0N y los meridianos 1,6W-1,1W.

En la Figura 4 se muestra la distribución temporal de estos terremotos.

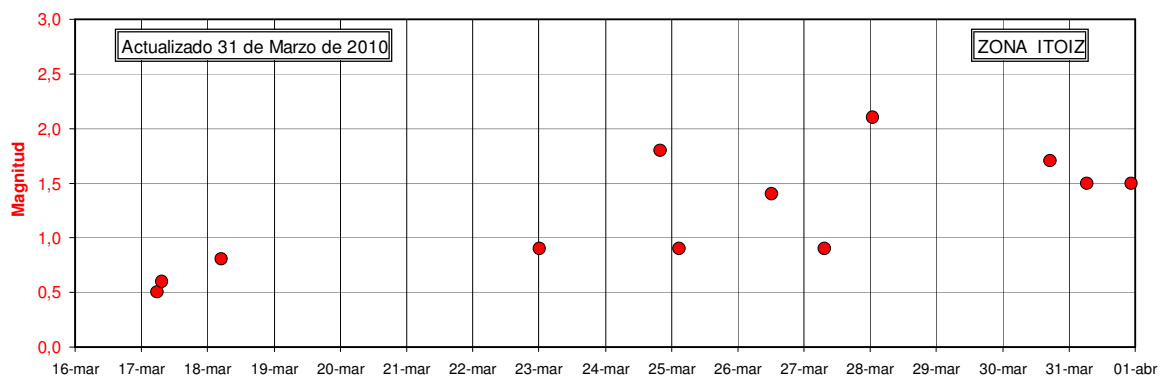


Figura 4.- Distribución temporal de los terremotos localizados en el periodo del 01 al 15 de marzo de 2010 en la zona de Itoiz, limitada por los paralelos 42,7N-43,0N y los meridianos 1,6W-1,1W.

En las Figuras 5 y 6 se muestran sendos gráficos actualizados de la distribución temporal de la actividad sísmica junto con la curva de llenado del embalse de Itoiz.

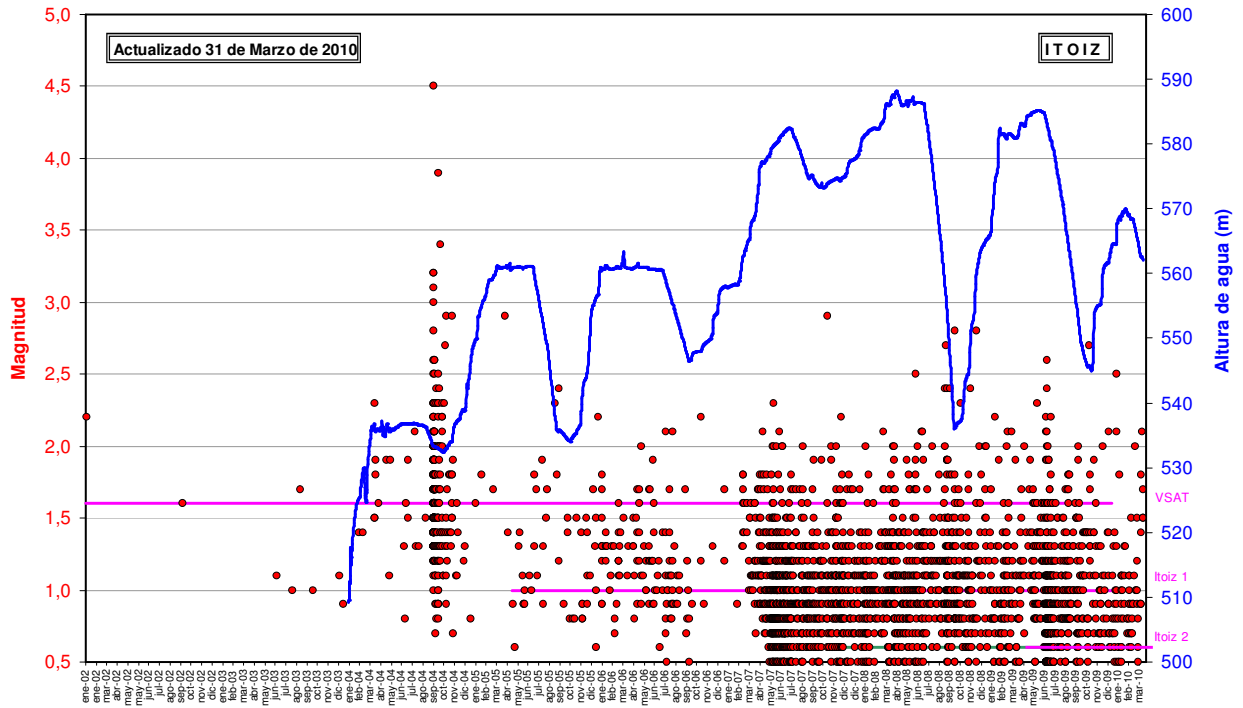


Figura 5.- Distribución temporal de los terremotos localizados en el periodo desde el 1 de enero de 2002 al 31 de marzo de 2010 en la zona de Itoiz, limitada por los paralelos 42,7N-43,0N y los meridianos 1,6W-1,1W, junto con la curva de llenado del embalse de Itoiz.

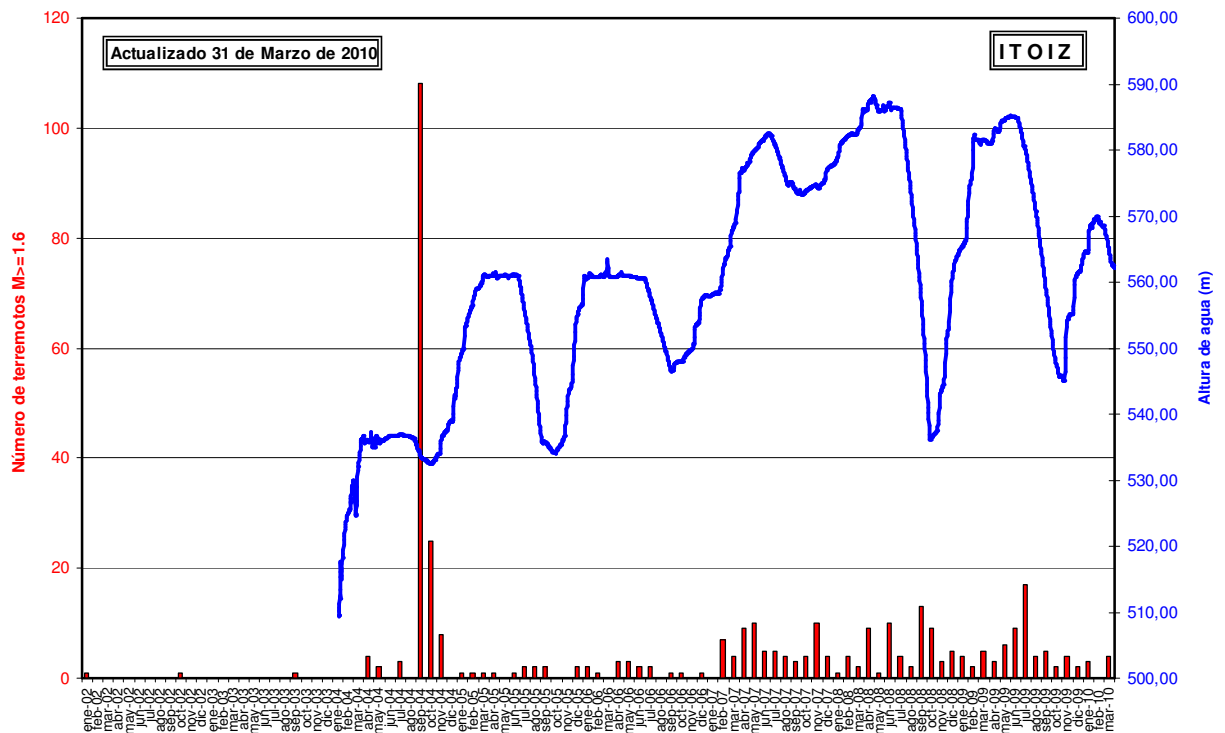


Figura 6.- Distribución temporal del número de terremotos al mes localizados en el periodo desde el 1 de enero de 2002 al 31 de marzo de 2010 en la zona limitada por los paralelos 42,7N -43,0N y los meridianos 1,6W -1,1W, junto con la curva de llenado.

3- ZONA DEL EMBALSE DE YESA (PARALELOS 42.75N-42.45N, MERIDIANOS 1.4W-0.85W)

ACTIVIDAD SÍSMICA DEL PERIODO QUINCENAL 16 AL 31 DE MARZO DE 2010

En este periodo se ha localizado en la zona próxima al embalse 6 terremotos entre las magnitudes de 0,5 y 2,1:

<u>Fecha</u>	<u>Hora (TU)</u>	<u>Lat.</u>	<u>Lon.</u>	<u>Mag</u>	<u>Localización</u>
28-mar	00:47:21	42,70	-1,22	2,1	NE DOMEÑO.NA
28-mar	01:39:15	42,67	-1,16	1,0	SW NAVASCUÉS.NA
28-mar	03:18:58	42,69	-1,22	0,7	NE DOMEÑO.NA
28-mar	03:59:54	42,68	-1,19	0,5	E DOMEÑO.NA
28-mar	04:14:33	42,67	-1,19	0,5	E DOMEÑO.NA
31-mar	17:12:00	42,66	-1,13	1,2	SW NAVASCUÉS.NA

En la Figura 7 se muestra su distribución epicentral.

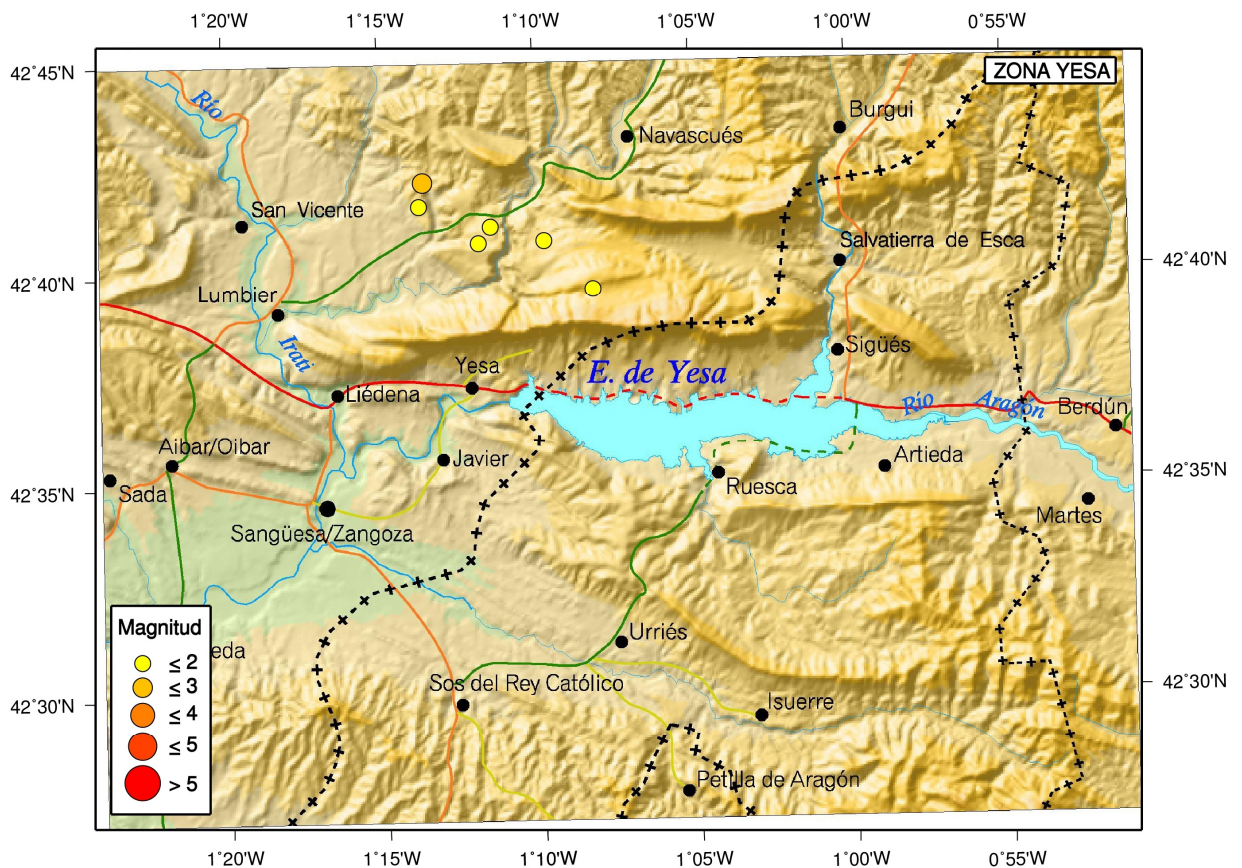


Figura 7.- Terremotos localizados en el periodo del 16 al 31 de marzo de 2010 en la zona de Yesa, limitada por los paralelos 42,45N-42,75N y los meridianos 1,4W-0,85W.

En la Figura 8 se muestra la distribución temporal del terremoto.

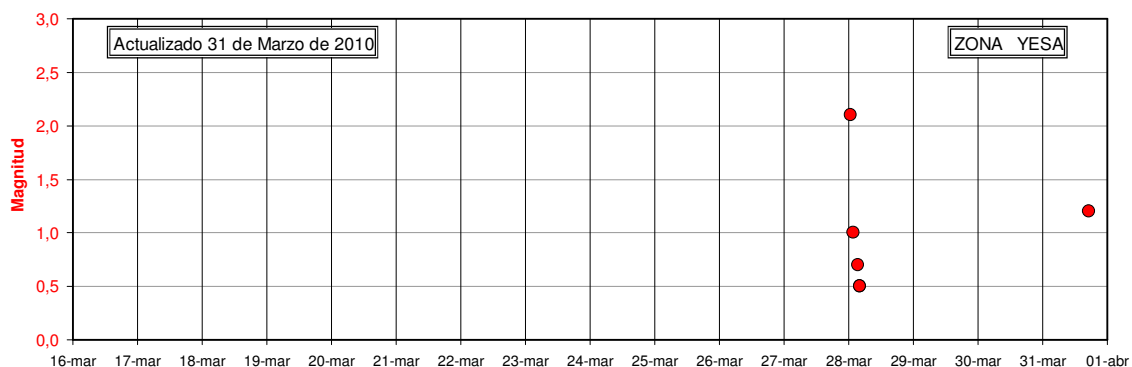


Figura 8.- Distribución temporal de los terremotos localizados en el periodo del 16 al 31 de marzo de 2010 en la zona de Yesa, limitada por los paralelos 42,45N-42,75N y los meridianos 1,4W-0,85W.

En la Figura 9 y 10 se muestran sendos gráficos actualizados de la distribución temporal de la actividad sísmica junto con la curva de llenado del embalse de Yesa.

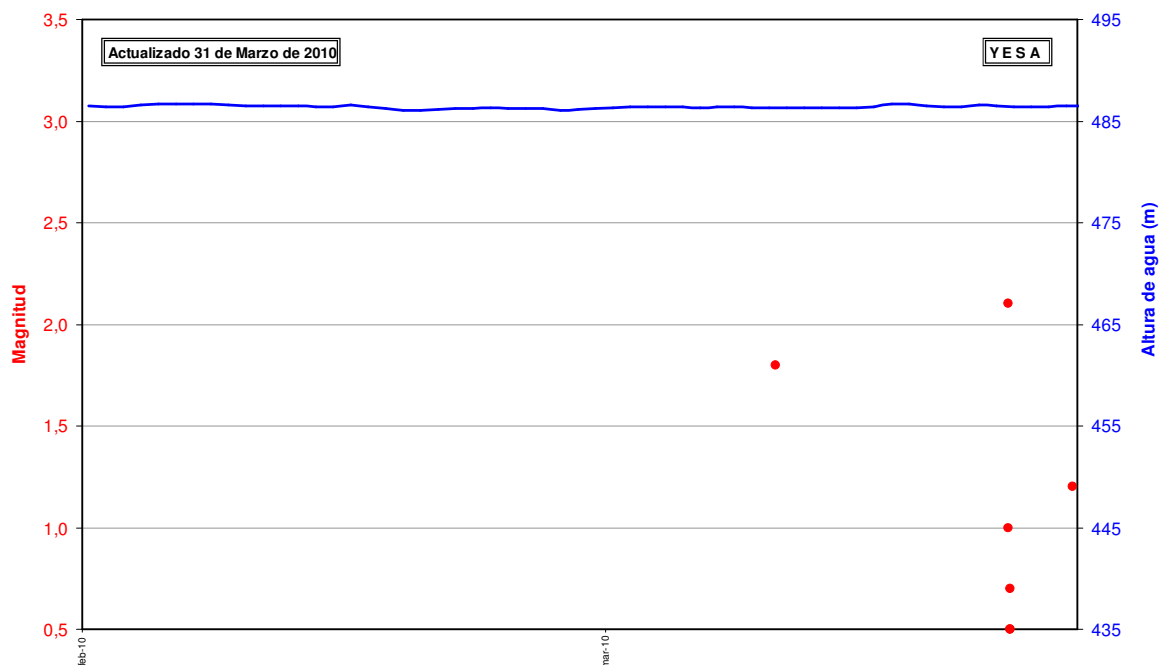


Figura 9.- Distribución temporal de los terremotos localizados en el periodo desde el 1 de febrero de 2010 al 31 de marzo de 2010 en la zona de Yesa, limitada por los paralelos 42,45N-42,75N y los meridianos 1,4W-0,85W, junto con la curva de llenado del embalse de Yesa.

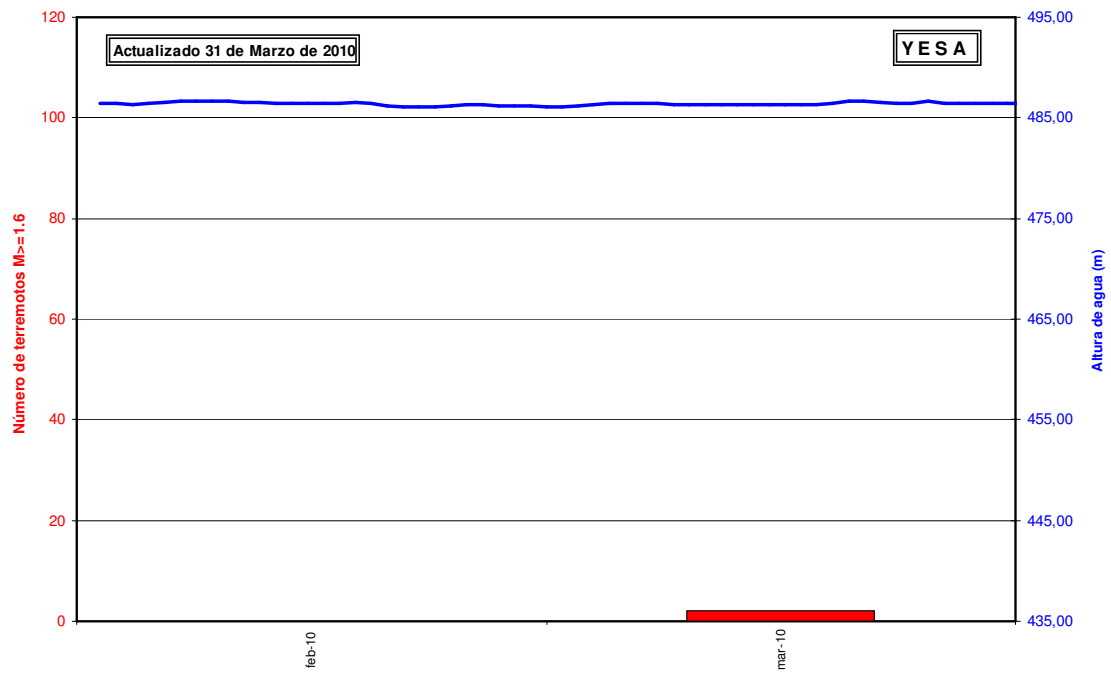


Figura 10.- Distribución temporal del número de terremotos al mes localizados en el periodo desde el 1 de febrero de 2010 al 31 de marzo de 2010 en la zona de Yesa, limitada por los paralelos 42,45N-42,75N y los meridianos 1,4W-0,85W, junto con la curva de llenado del embalse de Yesa.